

## К ВОПРОСУ О РАСЧЕТЕ ДВИЖЕНИЯ ГАЗА В МЕСТНОЙ БЕССКАЧКОВОЙ СВЕРХЗВУКОВОЙ ЗОНЕ

Л. Б. Горощенко

(Москва)

В настоящее время почти никем не оспаривается тот факт, что при обтекании какого-либо тела в дозвуковом потоке могут образовываться местные бесс скачковые сверхзвуковые зоны. Для расчета течения на таких режимах и для определения предельного значения числа  $M = M_\infty$  (т. е. того числа  $M_\infty$ , при превышении которого обтекание без скачка уплотнения уже заведомо невозможно) необходимо решение бесс скачковой смешанной задачи.

В настоящей статье, кратко излагающей основное содержание кандидатской диссертации автора, рассматриваются внешние задачи такого типа при следующих предпосылках: движение — адиабатическое, установившееся и безвихревое; газ — невязкий.

**§ 1.** Уравнение для потенциала скорости  $\varphi$  в полярных координатах  $r, \theta$  (для плоской задачи) имеет вид:

$$\begin{aligned} r \left\{ (\kappa + 1) \left[ a_*^2 - \left( \frac{\partial \varphi}{\partial r} \right)^2 \right] - \frac{(\kappa - 1)}{r^2} \left( \frac{\partial \varphi}{\partial \theta} \right)^2 \right\} \frac{\partial^2 \varphi}{\partial r^2} - \frac{4}{r} \frac{\partial \varphi}{\partial r} \frac{\partial \varphi}{\partial \theta} \frac{\partial^2 \varphi}{\partial \theta^2} + \\ + \frac{2}{r^2} \frac{\partial \varphi}{\partial r} \left( \frac{\partial \varphi}{\partial \theta} \right)^2 + \frac{1}{r} \left\{ (\kappa + 1) \left[ a_*^2 - \frac{1}{r^2} \left( \frac{\partial \varphi}{\partial \theta} \right)^2 \right] - (\kappa - 1) \left( \frac{\partial \varphi}{\partial r} \right)^2 \right\} \frac{\partial^2 \varphi}{\partial \theta^2} + \\ + \left\{ (\kappa + 1) a_*^2 - (\kappa - 1) \left[ \left( \frac{\partial \varphi}{\partial r} \right)^2 + \frac{1}{r^2} \left( \frac{\partial \varphi}{\partial \theta} \right)^2 \right] \right\} \frac{\partial \varphi}{\partial r} = 0 \end{aligned} \quad (1.1)$$

Здесь  $a_*$  — критическое значение скорости звука,  $\kappa$  — показатель адиабаты.

Д. Б. Кикин [1] для решения уравнения (1.1) в случае сверхзвуковых задач пользовался представлением потенциала  $\varphi$  в виде ряда, расположенного по положительным возрастающим степеням радиуса-вектора  $r$ . Для дозвуковых задач такое разложение не пригодно, так как граничное условие на бесконечности окажется не выполненным.

Будем искать решение в виде ряда

$$\varphi(r, \theta) = r \lambda_0(\theta) + \lambda_1(\theta) + \frac{1}{r} \lambda_2(\theta) + \cdots + \frac{1}{r^{p-1}} \lambda_p(\theta) \quad (1.2)$$

где  $\lambda_p$  — неизвестные функции, зависящие лишь от полярного угла  $\theta$ .

Подставляя этот ряд в уравнение (1.1) и приравнивая нулю коэффициенты при одинаковых степенях  $r$ , получим систему обыкновенных линейных дифференциальных уравнений второго порядка для определения функций  $\lambda_p$ .

Приводим первые три уравнения этой системы:

$$(\lambda_0'' + \lambda_0) [(\kappa + 1)(a_*^2 - \lambda_0'^2) - (\kappa - 1)\lambda_0^2] = 0 \quad (1.3)$$

$$[(\kappa + 1)(a_*^2 - \lambda_0'^2) - (\kappa - 1)\lambda_0^2] \lambda_1'' - 2\lambda_0' [(\kappa + 1)\lambda_0'' + (\kappa - 1)\lambda_0] \lambda_1' = 0 \quad (1.4)$$

$$\begin{aligned} &[(\kappa + 1)(a_*^2 - \lambda_0'^2) - (\kappa - 1)\lambda_0^2] \lambda_2'' - 2\lambda_0' [(\kappa + 1)\lambda_0'' + (\kappa - 3)\lambda_0] \lambda_2' + \\ &+ [(\kappa + 1)a_*^2 + (\kappa - 5)\lambda_0^2 - (\kappa - 3)\lambda_0'^2 + 2(\kappa - 1)\lambda_0\lambda_0''] \lambda_2 = \\ &= (\kappa - 3)\lambda_0\lambda_1'^2 + (\kappa + 1)\lambda_0''\lambda_1'^2 + 2(\kappa + 1)\lambda_0'\lambda_1'\lambda_1'' \end{aligned} \quad (1.5)$$

Эта система допускает последовательное решение.

Уравнение (1.3) нелинейно, но оно распадается на два уравнения, из которых для дозвуковых задач интерес представляет первое:

$$\lambda_0'' + \lambda_0 = 0 \quad (1.6)$$

Используя граничное условие  $(V)_{r \rightarrow \infty} \rightarrow V_\infty$ , решение уравнения (1.6) (скорость на бесконечности считаем направленной по оси  $x$ ) получим в виде

$$\lambda_0 = V_\infty \cos \theta \quad (1.7)$$

Это решение соответствует установившемуся движению.

После подстановки (1.7) в уравнения для функций  $\lambda_p$  эти уравнения принимают вид:

$$\begin{aligned} &(w + \cos 2\theta) \lambda_p'' - 2p \sin 2\theta \lambda_p' + [(p-1)^2 w - (p^2 - 1) \cos 2\theta] \lambda_p = \\ &= \frac{1}{V_\infty^2} f_p(\lambda_0, \lambda_0', \lambda_0'', \dots, \lambda_{p-1}, \lambda_{p-1}', \lambda_{p-1}'') \quad (p = 1, 2, 3, \dots) \end{aligned} \quad (1.8)$$

где

$$w = (\kappa + 1) \left( \frac{a_*}{V_\infty} \right)^2 - \kappa = \frac{2}{M_\infty^2} - 1 \quad (1.9)$$

Выражение для функции  $f_p$  здесь не приводится ввиду его громоздкости. Эти уравнения линейные с периодическими коэффициентами. Поэтому естественно искать их решения в виде рядов Фурье:

$$\lambda_p = e^{i\theta} \sum_{n=0}^{\infty} (a_{pn} \cos n\theta + b_{pn} \sin n\theta) \quad (p = 1, 2, 3, \dots) \quad (1.10)$$

Причем для симметричных задач решение определяется при помощи более простого ряда вида

$$\lambda_p = \sum_{n=0}^{\infty} a_{p, 2n+1} \cos (2n+1)\theta \quad (p = 1, 2, 3, \dots) \quad (1.11)$$

Однако уравнения с периодическими коэффициентами могут иметь и непериодические решения, что и имеет место для диркуляционных задач, для которых более удобны решения в виде степенных рядов

$$\lambda_p = \sum_{n=0}^{\infty} a_{pn} \theta^n, \quad \lambda_p = \sum_{n=0}^{\infty} a_{p2n} \theta^{2n} \quad (p = 1, 2, 3, \dots) \quad (1.12)$$

для общего и симметричного случаев обтекания соответственно. Причем тригонометрические функции в выражении (1.8) заменяются аппроксимирующими их степенными полиномами.

Подставив ряды (1.11) или (1.12) в уравнения (1.8) для функций  $\lambda_p$  и приравнивая коэффициенты, получим бесконечные системы алгебраических уравнений для коэффициентов рядов. Анализ общей формулы для функции  $f_p$  в выражении (1.8) показывает, что алгебраические уравнения, соответствующие функциям  $\lambda_p$ , линейны при  $p = 1, 2, 3$  и нелинейны при  $p = 4, 5, 6 \dots$ .

Число неизвестных в системах алгебраических уравнений превышает число уравнений. Недостающие уравнения находятся при помощи второго граничного условия — условия непротекаемости контура:

$$\frac{\partial \phi}{\partial n} = V_n = 0$$

Это выражение в полярных координатах может быть записано так:

$$\frac{1}{r^2} \frac{dr}{d\theta} \frac{\partial \phi}{\partial \theta} - \frac{\partial \phi}{\partial r} = 0 \quad (1.13)$$

Подставляя в это уравнение ряд (1.2), нетрудно получить

$$\frac{1}{r} \frac{dr}{d\theta} \left( \lambda_0' + \frac{1}{r} \lambda_1' + \frac{1}{r^2} \lambda_2' + \dots \right) - \lambda_0 + \frac{1}{r^2} \lambda_2 + \dots = 0 \quad (1.14)$$

Уравнение контура произвольного тела  $r = r(\theta)$  можно представить в виде степенного или тригонометрического ряда. После подстановки рядов для  $r$  и  $\lambda$  выражение (1.14) дает бесконечную систему алгебраических уравнений, соответствующих граничному условию.

Следует отметить, что ряд (1.2) может сходиться лишь при  $r \geq 1$ . Поэтому под  $r$  следует понимать относительный радиус, т. е. радиус, деленный на характерный размер тела, например, на его толщину.

**§ 2.** Приложим изложенный метод к задаче об обтекании цилиндра поступательным потоком газа. Для этой бесциркуляционной задачи функция  $\lambda_1$ , дающая течение от вихря и определяемая однородным дифференциальным уравнением (1.4), будет равна нулю. Можно доказать, что и все остальные функции  $\lambda_p$  с нечетным индексом будут равны нулю.

Следовательно, ряд, дающий решение, запишется

$$\phi(r, \theta) = r\lambda_0(\theta) + \frac{1}{r}\lambda_2(\theta) + \frac{1}{r^3}\lambda_4(\theta) + \dots + \frac{1}{r^{2p-1}}\lambda_{2p}(\theta) \quad (2.1)$$

Задачу будем решать с точностью до функции  $\lambda_4$ , что дает хорошее совпадение с опытом. Функции  $\lambda_{2p}$  ищутся в виде (1.14):

$$\lambda_{2p} = \sum_{n=0}^{\infty} a_{2p, 2n+1} \cos(2n+1)\theta \quad (p = 1, 2, \dots)$$

После подстановки этого ряда в (1.8) получим

$$\begin{aligned} & \left[ 2p(2n+3) - \frac{(2n+3)^2}{2} - \frac{(4p^2-4)}{2} \right] a_{2p, 2n+3} + \\ & + [(2p-1)^2 - (2n+1)^2] a_{2p, 2n+1} - \\ & - \left[ 2p(2n-1) + \frac{(2n-1)^2}{2} + \frac{(4p^2-4)}{2} \right] a_{2p, 2n-1} = F_{2p, n} \quad \begin{cases} n=0, 1, \dots \\ p=1, 2, \dots \end{cases} \end{aligned} \quad (2.2)$$

Функция  $F_{2p, n}$ , т. е. общая формула для правых частей алгебраических уравнений весьма громоздка. Поэтому здесь приводятся выражения, соответствующие  $p = 1$  и  $p = 2$ .

$$F_{2n} = 0 \quad (n = 0, 1, \dots) \quad (2.3)$$

$$\begin{aligned} F_{40} = \frac{1}{V_\infty} & \left\{ \frac{1}{2} (\kappa - 1) a_{2,1}^2 + [(2k+1)(\kappa - 5) - 2] a_{2,2k+1}^2 + \right. \\ & \left. + [8(k+1)^2(\kappa - 2) + \kappa + 1] a_{2,2k+1} a_{2,2k+3} \right\} \end{aligned} \quad (2.4)$$

$$\begin{aligned} F_{41} = \frac{1}{V_\infty} & \left\{ \frac{1}{2} (\kappa + 1) a_{2,1}^2 + (\kappa + 1) a_{2,1} a_{2,3} + [(\kappa + 1) - \right. \\ & \left. - 24(k+1)^2] a_{2,2k+1} a_{2,2k+3} + \right. \\ & \left. + [3(\kappa - 1)(2k+3)^2 - 24\kappa + 4] a_{2,2k+1} a_{2,2k+5} \right\} \quad (k = 0, 1, \dots) \end{aligned} \quad (2.5)$$

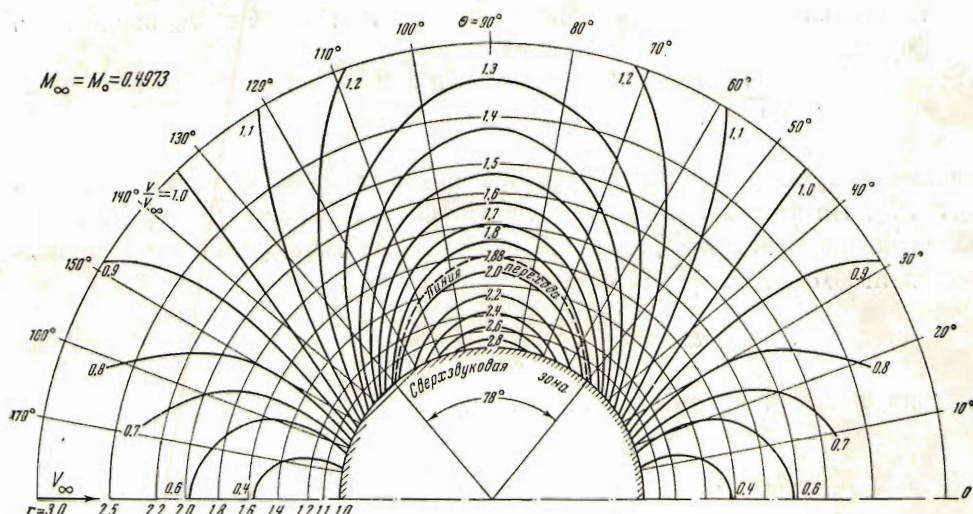
Пользуясь (2.2), для определения коэффициентов получим систему

$$\begin{aligned} 0a_{21} + 0a_{23} &= 0 \\ a_{21} + 2wa_{23} + a_{25} &= 0 \\ a_{23} + 2wa_{25} + a_{27} &= 0 \\ \cdot & \\ 4(1 - 2w)a_{41} + 0a_{43} &= -F_{40} \\ 12a_{41} + 0a_{43} + 0a_{45} &= -F_{41} \\ 24a_{43} + 16wa_{45} + 4a_{47} &= -F_{42} \\ \cdot & \end{aligned} \quad (2.6)$$

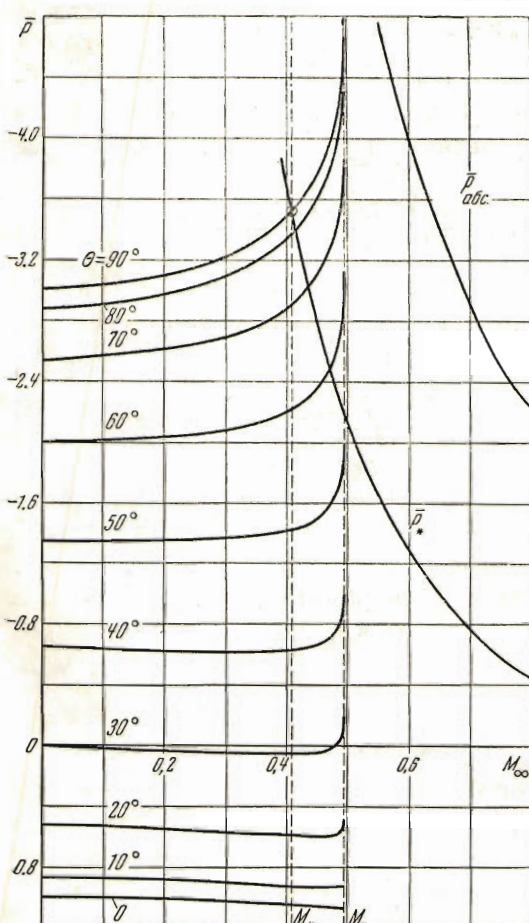
Кратко проанализируем эту систему. Во-первых, отметим, что хотя дифференциальные уравнения для функций  $\lambda_2$  и  $\lambda_4$  — второго порядка, но из уравнений граничного условия к каждой группе уравнений системы (2.6) можно добавить лишь по одному уравнению, так как решается симметричная задача и вторая произвольная постоянная интегрирования обращается в нуль. Заметим попутно, что исходной независимой произвольной постоянной является, естественно,  $V_\infty$  (произвольные постоянные в решениях уравнений для функций  $\lambda_2$  и  $\lambda_4$  зависят от  $V_\infty$ ).

Весьма примечательным является тот факт, что решение с точностью до  $\lambda_2$ , строго говоря, невозможно, так как в этом случае благодаря выпадению первого уравнения система уравнений, определяющих функцию  $\lambda_2$ , не замкнется. Для того чтобы эта система замкнулась, необходимо к первой группе уравнений системы (2.6) добавить, кроме уравнения граничного условия, еще два первых уравнения (оба они вводят только одно новое неизвестное  $a_{41}$ ) из группы уравнений, определяющих функцию  $\lambda_4$ . Желание учсть коэффициенты  $a_{45}$ ,  $a_{47}$  (коэффициент  $a_{43}$  определяется из второго уравнения граничного условия) привело бы к необходимости использовать первые три уравнения из системы для функции  $\lambda_6$  и т. д.

Таким образом, наше приближенное решение требует учета функции  $\lambda_4$ , что влечет за собой появление в системе алгебраических уравнений,



Фиг. 1.



Фиг. 2.

дающих решение задачи, нелинейных алгебраических уравнений [см. формулы (2.4), (2.5)]. Последнее обстоятельство, как мы увидим ниже, позволит зафиксировать момент появления скачка уплотнения.

После некоторых упрощений, почти не влияющих на точность расчета, решение задачи об обтекании цилиндра можно свести к решению системы из пяти алгебраических уравнений.

Нахождение коэффициентов  $a_{2p}, a_{2n+1}$  из этой системы не представляет труда. Если же эти коэффициенты известны, то при помощи ряда (1.2) легко вычислить радиальную  $v_r = \partial\varphi / \partial r$  и тангенциальную  $v_\theta = r^{-1} \partial\varphi / \partial\theta$  компоненты скорости.

Далее можно построить кривые относительных скоростей и поправок на сжимаемость, поле скоростей (фиг. 1) и т. п.

Если зависимость относительной скорости  $V / V_\infty$  от  $\theta$  и  $M_\infty$  найдена, то по формуле

$$\bar{p} = \frac{p - p_\infty}{\frac{1}{2} \rho_\infty V_\infty^2} = \frac{[1 + \frac{1}{2}(\kappa - 1) M_\infty^2 (1 - V^2 / V_\infty^2)]^{\kappa/\kappa-1} - 1}{\frac{1}{2} \kappa M_\infty^2} \quad (2.7)$$

можно получить кривые коэффициента давления в функции  $M_\infty$  и  $\theta$  (фиг. 2). На этом графике нанесена также зависимость  $\bar{p}_*$  (критическое значение коэффициента давления) от  $M_\infty$ . Для нахождения этой зависимости необходимо в формуле (1.9)

$$w = (\kappa + 1) \left( \frac{a_*}{V_\infty} \right)^2 - \kappa = \frac{2}{M_\infty^2} - 1$$

положить  $a_* = V_*$  (критический режим). Тогда

$$\left( \frac{V}{V_\infty} \right)_* = \frac{w + \kappa}{\kappa + 1} = \frac{1}{\kappa + 1} \left( \frac{2}{M_\infty^2} + \kappa - 1 \right)$$

Пооставляя это выражение в формулу (2.7), получим

$$\bar{p}_* = \frac{2}{\kappa M_\infty^2} \left\{ \left[ \frac{2 + (\kappa - 1) M_\infty^2}{\kappa + 1} \right]^{\kappa/\kappa-1} - 1 \right\} \quad (2.8)$$

Для того чтобы проанализировать течение кривых фиг. 1, 2, необходимо привести формулу для коэффициента  $a_{21}$ , получающуюся при решении системы алгебраических уравнений. При решении с точностью до  $a_{23}$  имеем

$$a_{21} = \frac{(2w - 1) - V(2w - 1)(2w - 14.2 + 3.6/w - 25.8/w^2)}{6.6 - 1.8/w + 12.9/w^2} \quad (2.9)$$

Остальные коэффициенты выражаются в виде несложных функций от  $a_{21}$ , так что, например, относительную максимальную скорость на цилиндре можно выразить следующей формулой:

$$\frac{V_{\max}}{V_\infty} = -\frac{1}{3w} \left[ \frac{(2w - 1) - V(2w - 1)(2w - 14.2 + 3.6/w - 25.8/w^2)}{6.6 - 1.8/w + 12.9/w^2} (2w + 3) + 4w \right] \quad (2.10)$$

Анализ формул (2.9) или (2.10) показывает, что при  $w < w_*$  коэффициент  $a_{21}$  и  $V_{\max}/V_\infty$  становятся величинами комплексными и решение теряет физический смысл, свидетельствуя о том, что при  $w < w_*$  (т. е. при  $M_\infty > M_*$ ) бесскаковое обтекание цилиндра становится уже заведомо невозможным. При  $w = w_*$  подкоренное выражение в формулах (2.9), (2.10) обратится в нуль. Отсюда ясно, что для определения  $w_*$  необходимо решить следующее кубическое уравнение:

$$2w^3 - 14.2w^2 + 3.6w_* - 25.8 = 0$$

Интересующий нас корень этого уравнения оказывается равным  $w_* = 7.1$ , или  $M_* = 0.4973 \approx 0.5$ . Следует отметить, что увеличение  $w$  мало влияет на величину  $M_*$ . Критическое значение  $w$  является пересечением кривых  $p_{\min}$  (при  $\theta = 90^\circ$ ) и  $\bar{p}_*$  (фиг. 2), цилиндра 0.4065, а число  $M$ , при котором возникает скачок, Таким образом, местные бесскаковые сверхзвуковые зоны

могут существовать на цилиндре при числе  $M_\infty$ , превышающем  $M_*$  почти на 0.1. На предельном режиме сверхзвуковые зоны достигают значительных размеров (фиг. 1), простираясь по контуру на  $78^\circ$  и более чем на половину радиуса в глубину потока, причем число  $M$  в них достигает значения 1.8.

Весьма интересным является следующее обстоятельство. Если построить кривую  $a_{21} = f(w)$  (фиг. 3), верхняя пунктирная ветвь которой не имеет физического смысла, то нетрудно заметить, что

$$\left(\frac{da_{21}}{dw}\right)_{w=w_*} = \infty \quad (2.11)$$

Фиг. 3.

Можно показать, что при увеличении точности расчета кривая  $a_{21} = f(w)$  изменится мало и равенство (2.11) останется в силе.

Наличие равенства (2.11) в свою очередь ведет к выражению:

$$\left(\frac{dp}{dM_\infty}\right)_{M_\infty=M_*} = \infty, \quad \left(\frac{dV}{dM_\infty}\right)_{M_\infty=M_*} = \infty \quad (2.12)$$

которые можно рекомендовать в качестве нового критерия, определяющего момент появления скачка уплотнения.

Может возникнуть вопрос: действительно ли критерий (2.12) соответствует появлению скачка уплотнения, а не какому-либо другому физическому фактору? Для проверки можно использовать критерий, выведенный А. А. Никольским и Г. И. Тагановым [2]:

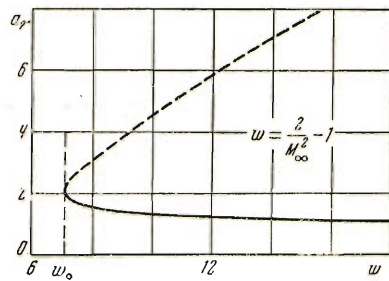
$$\left(\frac{d\theta_1}{ds}\right)_{M_\infty=M_*} = 0 \quad (2.13)$$

Этот критерий гласит: в момент появления скачка уплотнения величина производной от угла наклона вектора скорости на линии перехода по контуру обращается в нуль.

Кривые  $\theta_1$  при различных числах  $M_\infty$  даны на фиг. 4. При найденном нами значении  $M_*$  кривая  $\theta_1$  действительно имеет участок, почти параллельный оси абсцисс. Таким образом,  $M_*$  определено правильно и критерий (2.12) справедлив.

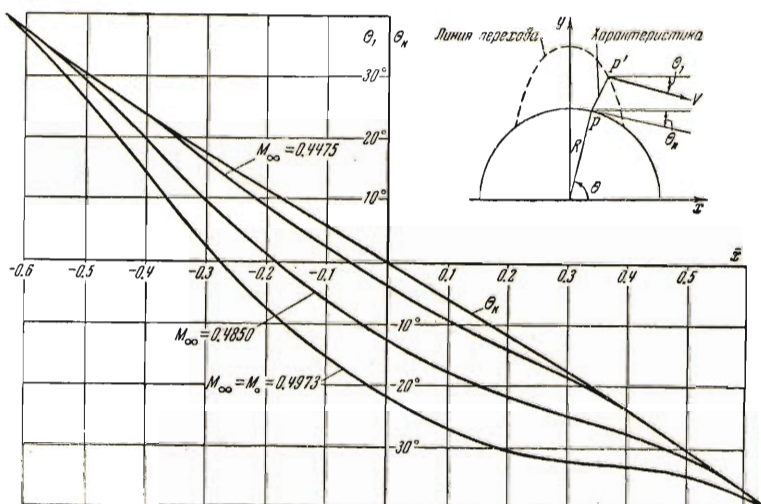
Теперь оказывается возможным объяснить причину необходимости появления скачка уплотнения. При  $M_\infty > M_*$  с ростом скорости набегающего потока местные скорости в струйках начинают резко увеличиваться. Если бы скачки уплотнения не существовали, то местные скорости в струйках быстро превысили бы максимальную возможную для газа скорость истечения в пустоту. Физически это невозможно, поэтому течение перестраивается, появляются скачки уплотнения.

Интересно отметить, что в момент появления скачков местные скорости на контуре еще далеко не достигают максимально возможного значения (см. кривую максимально возможных для газа разрежений  $p_{abs}$  на фиг. 2).



Это обстоятельство объясняется тем, что поток подвержен действию «закона монотонности», на основании которого и выведен критерий (2.13). Действительно, если в местной сверхзвуковой зоне скорости достигнут такого значения, что критерий (2.13) выполнится, то появится скачок.

Таким образом, критерий (2.12) определяет, при каком числе  $M_\infty$



Фиг. 4.

появится скачок уплотнения, а критерий (2.13) — какая при этом будет достигнута в сверхзвуковой зоне скорость. Рассматриваемый метод дает эту скорость автоматически.

Приведенное выше решение задачи об обтекании цилиндра показывает, что метод, изложенный в § 1, дает возможность решать смешанные бесскаковые задачи для заданного фиксированного контура. Причем появление скачка уплотнения констатируется не расхождением ряда для потенциала скорости (ряд сходится достаточно хорошо и при  $M_\infty$ ), а появлением минимости в решении.

Поступила 28 IV 1953

#### ЛИТЕРАТУРА

2. Никольский А. А., Тагапов Г. И. Движение газа в местной сверхзвуковой зоне и некоторые условия разрушения потенциального течения. ПММ, т. X, вып. 5, 1946.